

Marcin Madej¹, Jan Leżański²

Akademia Górniczo-Hutnicza, Wydział Metalurgii i Inżynierii Materiałowej, al. Mickiewicza 30, 30-059 Kraków

STRUKTURA I WŁASNOŚCI INFILTROWANYCH MIEDZIĄ KOMPOZYTÓW STAL SZYBKOTNĄCA-ŻELAZO

Przedstawiono badania wpływu technologii oraz dodatku żelaza na strukturę i własności kompozytów na osnowie stali szybko-
kotnącej. Materiał badawczy stanowiły kształtki ze stali szybko-
kotnącej i z dodatkiem 20 i 50% żelaza, infiltrowane miedzią metodą
nakładkową. Żelazo wprowadzone zostało do stali w celu obniżenia kosztów wytwarzania materiałów kompozytowych na osnowie
stali szybko-
kotnącej. Praca ma na celu określenie zależności między obniżeniem kosztów wytwarzania
a zmianą własności takiego materiału. Różnica w kosztach wynika z niższej ceny proszku żelaza i miedzi oraz z zastosowanej
technologii wytwarzania.

THE STRUCTURE AND PROPERTIES OF COPPER INFILTRATED HIGH SPEED STEEL-IRON COMPOSITES

High hardness, mechanical strength, heat resistance and wear resistance of M3/2 high speed steel (HSS) make it an
attractive material for manufacture of valve train components such as valve seat inserts and valve guides. Since technological
and economical considerations are equally important, infiltration of high-speed steel skeleton with liquid copper has proved to
be a suitable technique whereby fully dense material is produced at low cost. Attempts have been made to describe
the influence of the production process parameters and iron additives on the microstructure and mechanical properties of cop-
per infiltrated HSS based composites. The compositions of powder mixtures are 100% M3/2, M3/2-20%Fe, M3/2-50%Fe. The
powders were uniaxially cold compacted in a cylindrical die at 800 MPa. The green compacts were sintered in vacuum at
1150°C for 60 minutes. Thereby obtained porous skeletons were subsequently infiltrated with copper, by gravity method,
in vacuum furnace at 1150°C for 15 minutes. The M3/2 grade HSS powder cannot be fully densified at a temperature as low as
1150°C and the as-sintered density is approximately equal to the green density. The properties of the investigated composites
are given in Table 1. The morphologies of capillaries in porous and as-sintered materials as well as microstructures of the com-
posites are shown in Figures 5-7.

From the analysis of the obtained results (Tables 1, 2) and microstructural observations it may be concluded that the
microstructure is mainly affected by the manufacturing route and powders characteristics (M3/2 HSS, Höganäs iron).

WPROWADZENIE

Infiltracja miedzią porowatych kształtek jest jednym
ze sposobów wytwarzania kompozytów na osnowie
stali szybko-
kotnącej, np. elementów silników samocho-
dowych, takich jak np.: gniazda zaworów, prowadnice
zaworów [2, 3]. Infiltracja pozwala uzyskać wyroby lite
lub prawie całkowicie pozbawione porowatości. Zasto-
sowanie miedzi do infiltracji porowatych kształtek ze
stali szybko-
kotnącej wynika z jej dostępności, skrajnego
kąta zwilżania stali bliskiego zeru oraz dobrego prze-
wodnictwa cieplnego, które jest szczególnie przydatne w
wymienionych wyżej elementach silnika [3]. Dodatek
żelaza wprowadzono w celu obniżenia kosztów wytwa-
rzania ze względu na niższą cenę proszku żelaza w
stosunku do ceny stopowego proszku stali szybko-
kotnącej. Stal szybko-
kotnąca stanowi twardą osnowę odpowiedzial-
ną za własności wytrzymałościowe i odporność na ście-
ranie, wprowadzona podczas infiltracji miedź dodatko-
wo ułatwia uzyskanie całkowitego zagęszczenia. Celem
pracy jest określenie wpływu technologii wytwarzania

oraz dodatku żelaza na strukturę, przebieg infiltracji
oraz niektóre własności infiltrowanych miedzią kompo-
zytów na osnowie stali szybko-
kotnącej.

MATERIAŁY DO BADAŃ I ICH WŁASNOŚCI

Do wytwarzania porowatych kształtek stosowano
rozpylany wodą proszek stali szybko-
kotnącej gatunku
M3/2 oraz zredukowany proszek żelaza Höganäs NC
100.24. Morfologię stosowanych proszków stali szybko-
kotnącej i żelaza przedstawia rysunek 1.

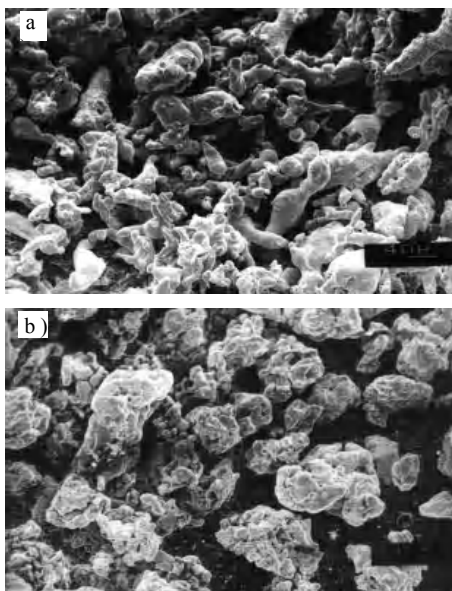
Porowate kształtki do infiltracji wytwarzano z następu-
jących mieszanek proszków:

- 1) 100% M3/2,
- 2) M3/2-20%Fe,
- 3) M3/2-50%Fe.

Mieszanie proszków wykonano w mieszalniku dwu-
stożkowym. Czas mieszania wynosił 1 godzinę. Nastę-
pnie mieszanki poddano prasowaniu w matrycy o działa-

¹ mgr inż., ² dr hab. inż.

niu stempla jednostronnym pod ciśnieniem 800 MPa. Część wyprasek poddano spiekaniu w piecu próżniowym w temperaturze 1150°C przez 1 godzinę. Następnie wszystkie kształtki poddano infiltracji metodą nakładkową. Infiltrację prowadzono w piecu próżniowym w temperaturze 1150°C przez 15 minut. Chłodzenie kształtek odbywało się wraz z piecem.



Rys. 1. Morfologia cząstek proszku: a) stali szybko tnącej gatunku M3/2, b) żelaza Höganäs

Fig. 1. Morphology of powder particles, SEM: a) high speed steels M3/2 class, b) iron powder

WYNIKI BADAŃ INFILTROWANYCH KOMPOZYTÓW

Własności kompozytów

Zestawienie własności infiltrowanych miedzią kompozytów na podstawie stali szybko tnącej przedstawiono w tabeli 1.

Wprowadzenie dodatku żelaza korzystnie wpływa na gęstość względną wyprasek w odniesieniu do wyprasek ze stali szybko tnącej. Wzrost gęstości względnej wyprasek z dodatkiem żelaza wynika z większej plastyczności proszku żelaza Höganäs. Zwiększenie zawartości żelaza do 50% powoduje wzrost gęstości względnej wyprasek do ok. 85% gęstości teoretycznej.

Spiekanie powoduje częściowe wygładzenie powierzchni kapilar oraz zaokrąglenie i zmiany ich wymiarów [1]. Proces spiekania części kształtek prowadzony w temperaturze 1150°C nie spowodował znaczących zmian gęstości względnej kształtek ze stali szybko tnącej i z dodatkiem żelaza. Powodem tego jest zbyt niska temperatura spiekania, niższa o ok. 100°C od optymalnej temperatury spiekania, mieszczącej się w bardzo wąskim oknie spiekania, które dla stali szybko tnącej gatunku M3/2 wynosi kilka stopni [3, 4].

Dodatek żelaza korzystnie wpływa na przebieg infiltracji kompozytów poddanych wstępnemu spiekaniu przed procesem infiltracji. Skrajny kąt zwilżania żelaza przez miedź w próżni wynosi 0, podobnie jest w przypadku stali szybko tnącej [2]. Gęstość infiltrowanych kompozytów zbliżona jest do gęstości teoretycznej. Dodatek żelaza powoduje zmniejszenie twardości infiltrowanych kompozytów, przy czym dodatek 20% obniża twardość nieznacznie w porównaniu do dodatku 50% proszku żelaza. Zmniejszenie twardości występuje także w przypadku infiltrowanych wstępnie spiekanych kształtek ze stali szybko tnącej. W czasie spiekania węgiel zawarty w stali szybko tnącej jest wykorzystywany do redukcji tlenków, co powoduje zubożenie stali w węgiel, a co za tym idzie zmniejszenie twardości i wytrzymałości na zginanie. Dodatek żelaza nie obniża wytrzymałości na zginanie infiltrowanych kompozytów.

Badania odporności na ścieranie i współczynnika tarcia przeprowadzono za pomocą testera T-05 w warunkach tarcia ślizgowego. Parametry procesu:

- przeciwpółka ϕ 49,5 mm (stal 55 po ulepszeniu cieplnym o twardości 55 HRC),
- obroty wrzeciona 500 obr/min,
- nacisk 165 N,
- prędkość obwodowa 1,3 m/s,
- droga poślizgu 1000 m,
- czas próby 13 minut.

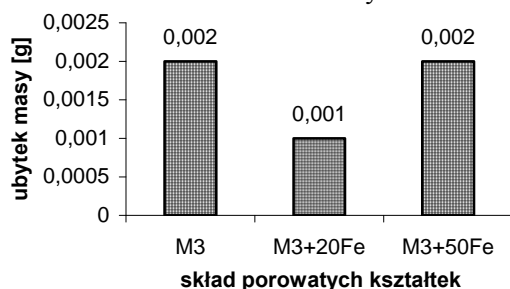
Wyniki badań przedstawiono na rysunkach 2 i 3.

Z analizy zaprezentowanych wyników badania odporności na ścieranie wynika, że w określonych warunkach dodatek żelaza nie powoduje obniżenia odporności na ścieranie w porównaniu do infiltrowanych kształtek ze stali szybko tnącej. Prawdopodobnie zwiększenie nacisku podczas próby może spowodować zwiększenie różnic w wynikach odporności na ściernie. Próba za pomocą testera T-05 charakteryzuje się zmianą badanej

TABELA 1. Własności kompozytów na podstawie stali szybko tnącej infiltrowanych miedzią
TABLE 1. Properties of copper infiltrated M3/2 grade high speed steel based composites

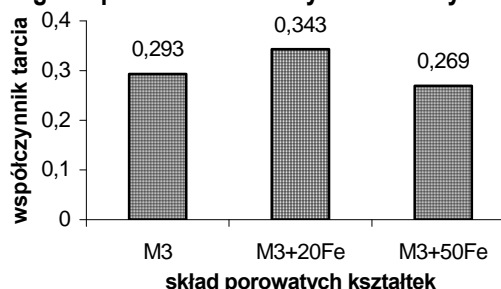
Skład kształtek	Stopień wypełnienia %		Porowatość końcowa %		Twardość HB		Wytrzymałość na zginanie, MPa		Zmiana objętości, %	
	wypraska	spiek	wypraska	spiek	wypraska	spiek	wypraska	spiek	wypraska	spiek
M3/2	88,4	73,4	3,7	1,9	410	379	2051	1744	1,24	-3,2
M3/2-20%Fe	88,7	82,4	2,1	2,3	370	372	2074	1968	0,0	-1,9
M3/2-50%Fe	86,6	90,5	2,3	2,7	346	321	1915	2004	-1,9	0,0

po-wierzchni w trakcie trwania analizy.



Rys. 2. Odporność na ścieranie infiltrowanych kompozytów

Morfologia kapilar oraz struktury infiltrowanych



Rys. 3. Współczynnik tarcia infiltrowanych kompozytów

Fig. 3. Friction coefficient of infiltrated composites

TABELA 2. Mikrotwardość poszczególnych składników kompozytów M3/2-50% Fe

TABLE 2. Microhardness HV of composites M3/2-50% Fe

Wyniki pomiarów mikrotwardości metodą Vickersa (obciążenie 65 g)									
Żelazo				Miedź		Stal szybkotnąca			
Fe/stal	Fe→	środek Fe	Fe/Cu	Cu/Fe	Cu/stal	stal/Fe	duże ziarno	małe ziarno	stal/Cu
304	190	140	166	147	156	756	860	838	790

Fig. 2. Wear resistance of infiltrated composites

Liniowa analiza rozkładu pierwiastków (rys. 4) oraz analiza mikrotwardości za pomocą węgelnika Vickersa (tab. 2) potwierdziły dyfuzję pierwiastków stopowych ze stali szybkotnącej do żelaza i wzrost mikrotwardości w obszarze granicznym żelazo-stal szybkotnąca, wynikający z dyfuzji węgla ze stali do żelaza.

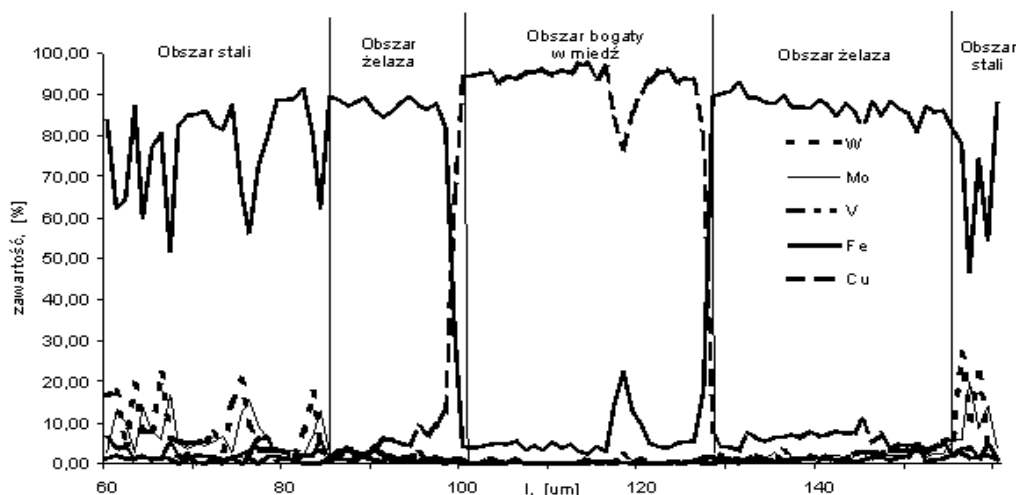
Znaczący wzrost mikrotwardości występuje tylko w obszarze przy granicy cząstek żelaza ze stalą szybkotnącą, natomiast wraz ze zbliżaniem się do środka cząstki mikrotwardość obniża się. Nie występują różnice mikrotwardości obszarów granicznych miedź-żelazo i miedź-stal oraz nie występuje znacząca różnica na przekroju obszaru miedzi. Występuje nieznaczny spadek mikrotwardości w obszarach granicznych stal-żelazo i stal-miedź, co jest spowodowane dyfuzją zarówno węgla, jak i pierwiastków stopowych.

kompozytów

Morfologię kapilar porowatych kształtek oraz struktury infiltrowanych miedzią kształtek przedstawiono na rysunkach 5-7.

Technologia wytwarzania determinuje zarówno morfologię kapilar, jak i strukturę kompozytów po infiltracji. Na morfologię kapilar zasadniczy wpływ wywiera nieregularny kształt i rozkład wielkości cząstek proszku stali szybkotnącej oraz proszku żelaza Höganäs [1]. Struktura stali szybkotnącej poddanej infiltracji składa się z produktów bezdyfuzyjnej przemiany austenitu z wydzielonymi na granicach i wewnątrz ziarn stali szybkotnącej drobnoziarnistymi węglnikami typu M_6C i MC. W spiekanych kształtkach ze stali szybkotnącej

na powierzchni cząstek stali wydzielili się węgliki, powodując wzrost chropowatości. Spiekanie przyczynia się do zwiększenia liczby styków pomiędzy cząstkami. Struktura infiltrowanych wyprasek z dodatkiem żelaza

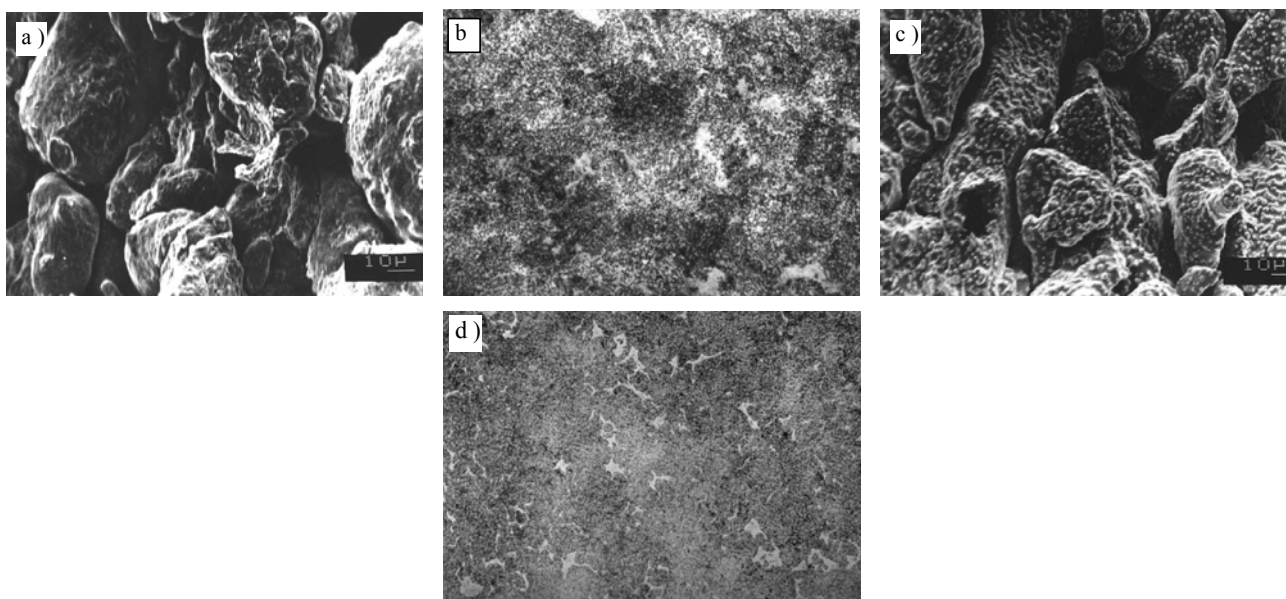


Rys. 4. Rozmieszczenie pierwiastków wzdłuż linii na próbce infiltrowanego kompozytu M3/2-50%Fe

Fig. 4. Distribution of elements in specimen M3/2-50%Fe

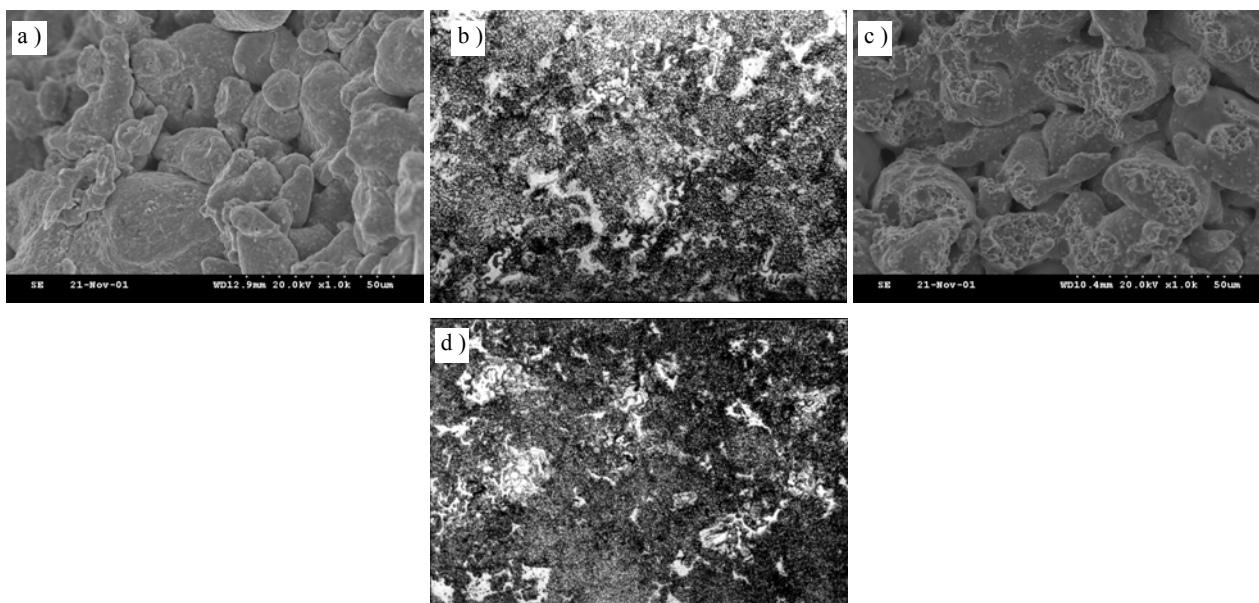
nie różni się zasadniczo od struktury infiltrowanych spieków. Różnica polega na bardziej gruboziarnistej strukturze wstępnie spiekanych kształtek w porównaniu do infiltrowanych wyprasek. Infiltracja miedzią powoduje częściową fragmentację cząstek żelaza, ułatwia to gąbczasta struktura proszku żelaza Höganäs NC 100.24 oraz dwuścienny kąt zwilżania żelaza przez miedź bliski

zeru. Proces fragmentacji żelaza nie powoduje istotnych zmian wymiarów kompozytów w trakcie infiltracji, co pozwala na ścisłą kontrolę wymiarów kształtek w czasie procesu produkcji. Miedź otacza w całości cząstki żelaza oraz wypełnia kapilary w osnowie stali szybkoznającej.



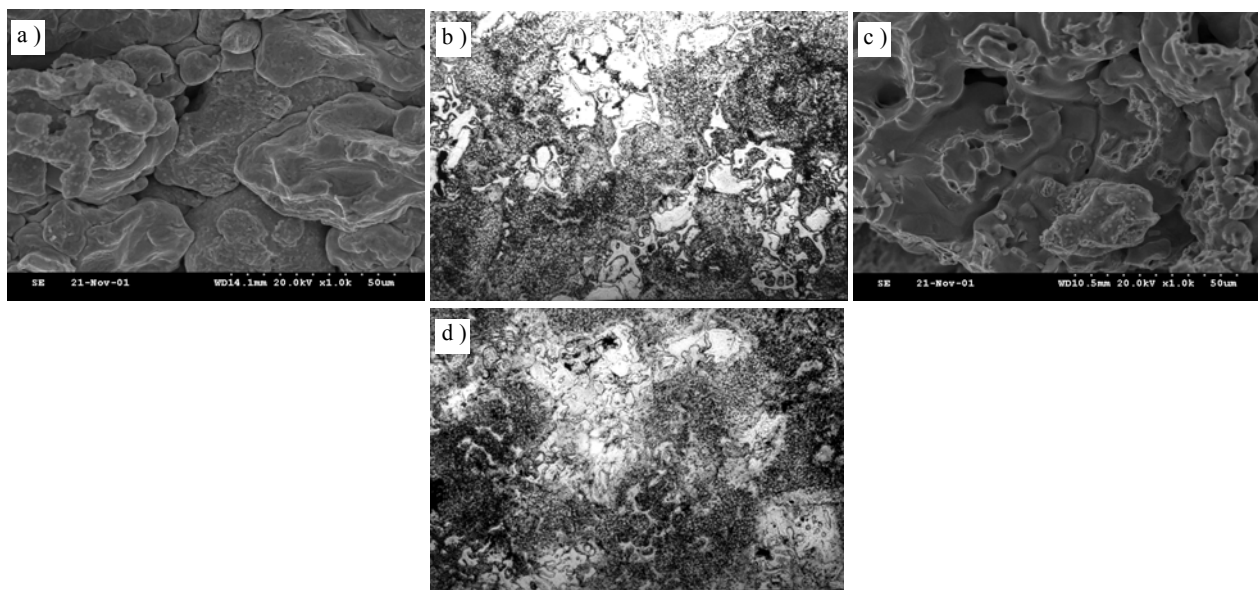
Rys. 5. Struktury przełamów porowatych kształtek i infiltrowanych kompozytów ze stali szybkoznającej M3/2: a) przełam wypraski, b) infiltrowany kompozyt z tej wypraski, c) przełam spieku, d) infiltrowany kompozyt z tego spieku

Fig. 5. SEM microstructures of green compacts and as-infiltrated M3/2 HSS based composites: a) green compact, b) as-infiltrated green compact, c) as-sintered material, d) sintered and infiltrated material



Rys. 6. Struktury przełamów porowatych kształtek i infiltrowanych kompozytów ze stali szybkoznającej M3/2 z dodatkiem 20% żelaza: a) przełam wypraski, b) infiltrowany kompozyt z tej wypraski, c) przełam spieku, d) infiltrowany kompozyt z tego spieku

Fig. 6. SEM microstructures of green compacts and as-infiltrated M3/2-20%Fe HSS based composites: a) green compact, b) as-infiltrated green compact, c) as-sintered material, d) sintered and infiltrated material



Rys. 7. Struktury przełomów porowatych kształtek i infiltrowanych kompozytów ze stali szybko tnącej M3/2 z dodatkiem 50% żelaza: a) przełom wypraski, b) infiltrowany kompozyt z tej wypraski, c) przełom spieku, d) infiltrowany kompozyt z tego spieku

Fig. 7. SEM microstructures of green compacts and as-infiltrated M3/2-50%Fe HSS based composites: a) green compact, b) as-infiltrated green compact, c) as-sintered material, d) sintered and infiltrated material

WNIOSKI

- Infiltracja miedzi prowadzi do uzyskania kompozytów o gęstości zbliżonej do gęstości teoretycznej oraz prawie całkowitą eliminację porowatości.
- Dodatek żelaza nie powoduje istotnych zmian gęstości podczas spiekania, natomiast przyczynia się do wzrostu gęstości wyprasek.
- Miedź penetruje po granicach strukturalnych ziarn żelaza i powoduje częściową fragmentację cząstek na oddzielne ziarna.
- Dodatek żelaza obniża twardość infiltrowanych kompozytów natomiast nie wpływa na wartość wytrzymałości na zginanie.
- W określonych warunkach tarcia dodatek żelaza nie powoduje obniżenia odporności na ścieranie infiltrowanych kompozytów.
- Dodatek żelaza powoduje obniżenie kosztów wytwarzania kompozytów na podstawie stali szybko tnącej ze względu na niższą cenę proszku stali szybko tnącej.

Praca wykonana w ramach projektu badawczego nr 7 T08D 009 15, finansowanego przez KBN.

LITERATURA

- [1] Leżański J., Infiltracja cieczy w porowatych materiałach, *Metalurgia i Odlewnictwo* 1988, 118.
- [2] Greetham G., Development and performance on infiltrated and non-infiltrated valve seat insert materials and their performance, *Powder Metallurgy* 1990, 3, 2, 112-114.
- [3] Wright C.S., The production and application of PM high-speed steels, *Powder Metallurgy* 1994, 3, 937-944.
- [4] Igharo M., Wood J.V., Effect of consolidation parameters on properties of sintered high-speed steels, *Powder Metallurgy* 1990, 33, 1, 70-76.

Recenzent
Zygmunt Nitkiewicz